

# 电磁混沌摆的数值模拟

胡志浩 PB15000189  
指导老师 秦敢

## 目

- 引言
- 模型建立
- 运动方程
- 代码与几个特定初值的运行结果
- 存在的不足与改进点

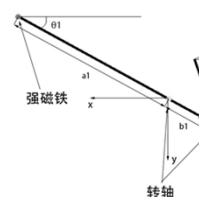
## 引

- 电磁混沌摆是一个双杆结构，在有电池供电的情况下，底座上的磁铁之间相互作用，可以使摆杆产生无规律的运动。
- 本文希望通过使用Mathematica的
- 数值模拟来研究电磁混沌摆的运动，
- 尽量真实地还原不同初始条件下混沌摆的运动。

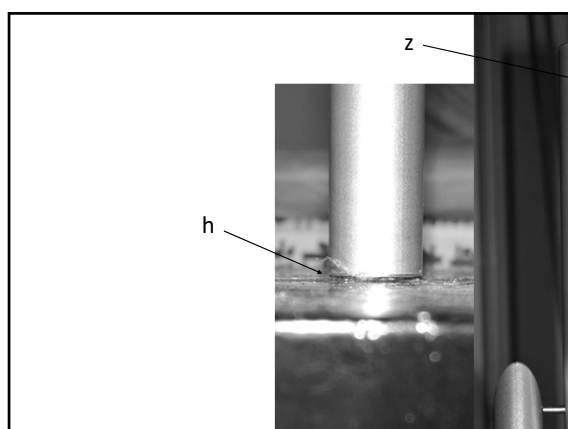


## 模

- 定义主杆、副杆；
- 摆杆上磁铁的分布；
- 坐标轴的建立；
- 广义坐标的选取；
- 一些常数：



$a_1, b_1, a_2, b_2$  主杆长端最低点与底座电磁铁的距离  $z$ ，以及后面使用磁荷法模型计算磁铁之间相互作用用到的值（将在后面的代码中给出）。



## 运

### • 拉格朗日方程

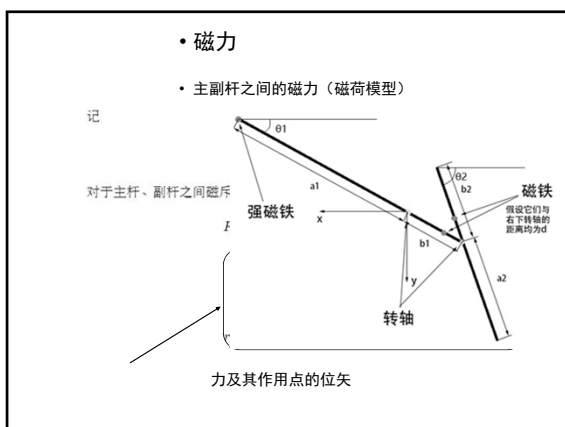
拉格朗日方程可以用来建立不含约束力的的动力

其形式如下：

$$\frac{d}{dt} \frac{\partial T}{\partial \dot{q}_a} - \frac{\partial T}{\partial q_a} = Q_a$$

其中  $T$  是系统动能， $q_a$  为 广义坐标  $Q_a$  为 广义力；

广义力的形式为：
$$Q_a = \sum_i F_i \cdot \frac{\partial \vec{r}_i}{\partial q_a}$$



• 磁力

• 主杆与底座电磁铁的作用力

$$\vec{B}(t) = k_2 \frac{(h + a_1 - y)\vec{e}_y - x\vec{e}_x}{(x^2 + (a_1 + h - y)^2)^{\frac{3}{2}}} \sin \frac{t}{2}$$

受力为:

$$\vec{F}_B = m$$

力的作用点:

$$\vec{r}_B = a_1 \cos \theta_1 \vec{e}_x$$

因为底座的电磁铁产生的磁场强度是不断变化的, 为取磁荷法模型中的磁荷  $q = q_0 \sin \frac{t}{2}$ ; 这里  $k_2$  是一个与  $q_0$  相关的数, 注意到受力表达式中,  $\vec{F}_B$  与  $m$ 、 $\vec{B}(t)$  相关, 取  $k_2 = 1$ , 的大小来使结果合理。

解

• 因为摆所用磁铁的大小和强度均无法较精确测得, 所以均取值为1, 通过调整其他数值的大小来使模拟获得一结果。

• 重力

• 重力及其广义力

$$\vec{F}_1 \cdot \frac{\partial \vec{r}_1}{\partial \theta_1} = -\rho \frac{a_1 - b_1}{2} (a_1 + b_1) g \cos \theta_1$$

$$\vec{F}_2 \cdot \frac{\partial \vec{r}_2}{\partial \theta_1} = b_1 (a_2 + b_2) g \cos \theta_1$$

$$\vec{F}_1 \cdot \frac{\partial \vec{r}_1}{\partial \theta_2} = 0$$

$$\vec{F}_2 \cdot \frac{\partial \vec{r}_2}{\partial \theta_2} = \rho \frac{a_2 - b_2}{2} (a_1 + b_1) g \cos \theta_2$$

• 动能

在本模型中, 主副杆的动能  $T_1$ 、 $T_2$  有如下表示:

$$T_1 = \frac{1}{2} \rho \int_0^{a_1+b_1} [(x - a_1)\dot{\theta}_1]^2 dx = \frac{1}{6} \rho (a_1^3 + a_1^2 b_1 + a_1 b_1^2 + b_1^3) \dot{\theta}_1^2$$

$$T_2 = \frac{1}{2} \rho \int_0^{a_2+b_2} [b_1^2 \dot{\theta}_1^2 + (x - b_2)^2 \dot{\theta}_2^2 + 2b_1(x - b_2)\dot{\theta}_1 \dot{\theta}_2] dx$$

$$= \frac{1}{6} \rho \{ 3(a_2 + b_2)b_1^2 \dot{\theta}_1^2 + (a_2^3 + b_2^3)\dot{\theta}_2^2 + 3(a_2^2 - b_2^2)b_1 \dot{\theta}_1 \dot{\theta}_2 \}$$

故系统总动能可以写成:

$$T = \frac{1}{6} \rho \{ 3[(a_2 + b_2)b_1^2 + a_1^3 + b_1^3]\dot{\theta}_1^2 + (a_2^3 + b_2^3)\dot{\theta}_2^2 + 3(a_2^2 - b_2^2)b_1 \dot{\theta}_1 \dot{\theta}_2 \}$$

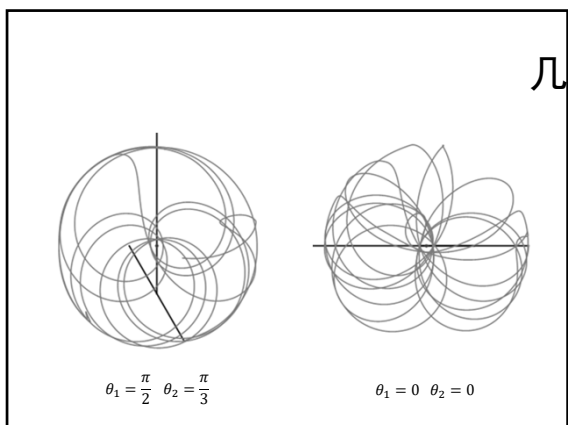
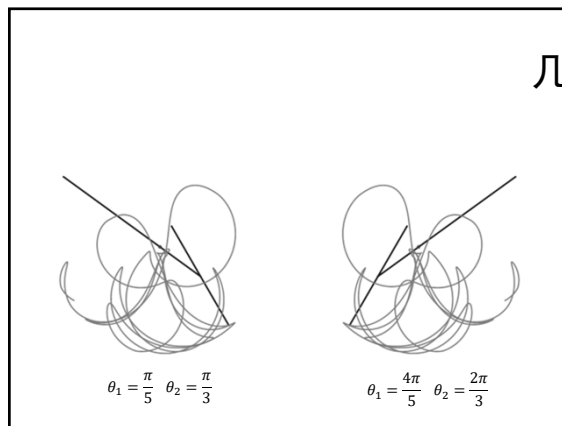
• 运动方程形式

$$\frac{d}{dt} \frac{\partial T}{\partial \dot{\theta}_1} - \frac{\partial T}{\partial \theta_1} = -\rho \frac{a_1 - b_1}{2} (a_1 + b_1) g \cos \theta_1 + b_1 (a_2 + b_2) g \cos \theta_1 + \vec{F}_B \cdot \frac{\partial \vec{r}_B}{\partial \theta_1}$$

$$\frac{d}{dt} \frac{\partial T}{\partial \dot{\theta}_2} - \frac{\partial T}{\partial \theta_2} = \rho \frac{a_2 - b_2}{2} (a_1 + b_1) g \cos \theta_2 + \vec{F}_B \cdot \frac{\partial \vec{r}_B}{\partial \theta_2} + \vec{F}_{n1} \cdot \frac{\partial \vec{r}_1}{\partial \theta_2}$$

```

Mathematica
• Clear["Global`*"]
• p=1;a1=0.201;b1=0.0845;a2=0.0975;b2=0.0955;g=9.795;R=0.01;
• h1=0.01;d=0.01;z=0.002;q=0.002;(*磁荷*)m=0.0001; 常数
• B[x_,y_]:= (x,y-a1-h1)/(x^2+(a1+h1-y)^2)^1.5;
• F[01_,02_]:= 2d Sin[(01-02)/2]q^2/(4d Sin[(01-02)/2])^2+z^2)^1.5;
• KT= ρ((3(a2+b2)b1^2+a1^3+b1^3)(01'[t])^2+(a2^3+b2^3)(02'[t])^2+(a2^2-b2^2)b1
01'[t]02'[t]Cos[01[t]-02[t]])/6;
• func= {
• D[KT,01'[t],t]-D[KT,02'[t],t]== -ρ (a1 + b1) g (a1 - b1) Cos[01[t]]/2 + ρ (a2 + b2) g (b1
Cos[01[t]]) + Cos[(01[t]+02[t]+π)/2]Sin[01[t]]+Sin[(01[t]+02[t]+π)/2]Cos[01[t]] d
F[01[t],02[t]]-a1 m B[a1 Cos[01[t]],-a1 Sin[01[t]]]Sin[t/2],
• D[KT,02'[t],t]-D[KT,01'[t],t]== ρ (a2 + b2) (a2 - b2) g Cos[02[t]]/2 - (-
Cos[(01[t]+02[t]+π)/2]Sin[02[t]]+Sin[(01[t]+02[t]+π)/2]Cos[02[t]]) d F[01[t],02[t]]
};
• ini= {01[0]==0,02[0]==0,01'[0]==0,02'[0]==0}; 初始值
• sol= First@NDSolve[{func,ini},{01,02},{t,0,60}];
• point11[t_]:= Evaluate[{-a1 Cos[01[t]],a1 Sin[01[t]]}/.sol]
• point12[t_]:= Evaluate[{b1 Cos[01[t]],-b1 Sin[01[t]]}/.sol]
• point21[t_]:= Evaluate[{b1 Cos[01[t]]-a2 Cos[02[t]],-b1 Sin[01[t]]+a2 Sin[02[t]]}/.sol]
• point22[t_]:= Evaluate[{b1 Cos[01[t]]+b2 Cos[02[t]],-b1 Sin[01[t]]-b2 Sin[02[t]]}/.sol]
• data=
Table[Graphics[{Blue,Thick,Line[{point11[t],point12[t]},{point21[t],point22[t]}]},Plot
Range->[{-0.2,0.2},{-0.2,0.2}],ImageSize->300,Epilog->
{PointSize[Medium],Red,Point[{0,0}]}],{t,0,60,0.65}];
• Animate[data,{i},{i,1,Length[data]},1,AnimationRate->20]
    
```

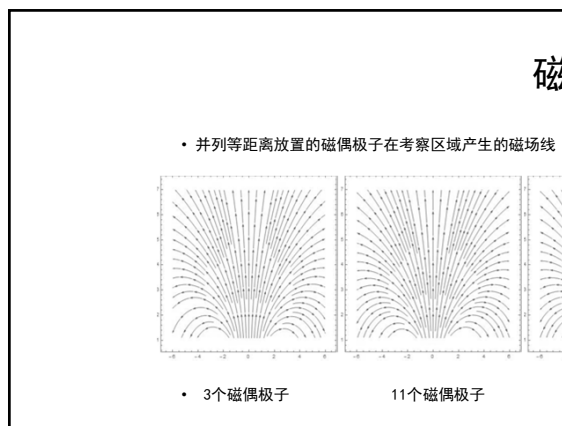


- 不
- 1、实际底部电磁铁有微电脑控制，不会使摆产生很突兀的变化改变，而本文采用的正弦变化近似与其有一定的区别
  - 2、简单采用单个磁荷的模型研究底座电磁铁对主杆上摆用比较粗糙；
  - 3、数据的调整有一定主观成分，而实际值难以精确测得

改

- 磁偶极子
- 采用磁偶极子来代替之前的磁单极子，可以更好地产生的磁效果，进一步地，采用等距排列的多个磁偶极子模拟环形电流产生的磁效果。

Figure 7: 单个磁偶 (左) 与电流环 (右) 在区域中磁场线的区别



• 致谢

- 能够完成论文，多亏老师、同学和永动科技工作人员的帮助，在此一一致谢。
- 感谢秦敬老师提供的研究思路；
- 感谢范怡淳学长给我讲解了拉格朗日方程的相关知识；
- 感谢吕靖浩同学帮忙指出了之前计算中出现的错误；
- 感谢永动科技工作人员向我讲解了混沌摆的详细构造与结构特点。